

---

## Communiqué

Institut de physique du globe de Paris  
Observatoire volcanologique du Piton de la Fournaise

29/03/2026 – 7h15 heure locale – 7h15 heure UTC

---

### Éruption en cours

---

#### Résumé

L'éruption débutée le 13 février 2026 a repris le 28 mars aux alentours de 15h heure locale. Un seul site éruptif est actif sur le flanc sud-sud-est, au niveau du cône formé entre le 13 février et le 25 mars. Seule la coulée principale sud est de nouveau alimentée. Au niveau du cône éruptif de faibles projections de lave sont observées. Le trémor éruptif (indicateur du flux de lave et de gaz) a augmenté progressivement lors de la fin de journée hier avant de stabiliser puis de ré-augmenter légèrement en ce début de journée.

---

#### Observations sur les différents sites

**Après un arrêt observé entre le 25 (16h30 heure locale) et le 28 mars, l'éruption débutée le 13 février 2026 sur le flanc sud-sud-est du volcan a repris le 28 mars aux alentours de 15h heure locale.**

**Le site éruptif se situe toujours** sur le flanc sud-sud-est du volcan à 2056 m d'altitude, au niveau du cône formé entre le 13 février et le 25 mars.

L'activité a repris progressivement lors de l'après-midi du 28 mars (cf. communiqués de l'OVPF-IPGP du 28 mars). Cette nuit, au niveau du cône éruptif, **un dégazage et de faibles projections de lave étaient observées** (Figure 1).

**L'activité en tunnels de lave a également repris en aval du cône avec des résurgences visibles au niveau du champ de lave mis en place entre le 13 février et le 25 mars 2026.** Ces résurgences étaient de nouveau visibles dans les Grandes Pentes à partir de 23h42 heure locale le 28 mars sur le bras principal sud (Figure 2).

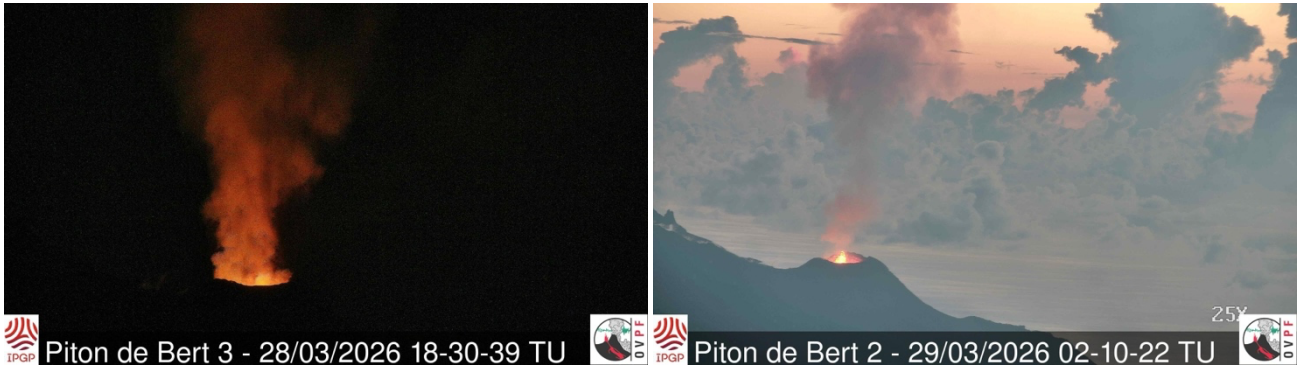


Figure 1 : Prises de vue sur le site éruptif depuis la webcam située à Piton de Bert (heure TU : heure locale -4h) (©OVPF-IPGP).



Figure 2 : Prise de vue sur les Grandes Pentes depuis la webcam Hubert Delisle située dans le Grand Brûlé (heure TU : heure locale -4h) (©OVPF-IPGP).

**Avec la reprise de l'activité, une réalimentation de la plateforme formée entre le 16 et le 25 mars est possible, ainsi qu'une intensification du panache de gaz au point d'entrée à l'océan.**

En effet, même s'il est désormais de plus faible intensité, **un panache de gaz est toujours présent au niveau de l'entrée de la lave à l'océan**. Celui-ci est principalement constitué de vapeur d'eau, d'acide chlorhydrique (HCl) et de particules fines. Lorsque la lave, à une température d'environ 1130 °C, entre en contact avec l'eau de l'océan riche en chlorure de sodium, elle engendre la formation d'un aérosol acide sous forme de fines gouttelettes en suspension. Ce panache contient également des particules de lave pulvérisée et des fragments de verre volcanique, pouvant être transportés sur plusieurs centaines de mètres à kilomètres sous l'effet des vents.



Ce panache, parfois appelé « laze » (lava haze), peut présenter un caractère irritant et corrosif pour les voies respiratoires, la peau et les yeux. Sa dispersion dépend étroitement des conditions météorologiques locales. Par ailleurs, le contact brutal entre la lave et l'eau peut générer des explosions localisées, projetant des matériaux en fusion et des jets de vapeur à haute température à proximité immédiate du point d'entrée en mer.

Des explosions pourraient également se produire en cas de déstabilisation de la plateforme. En effet, **cette plateforme, composée d'une accumulation de coulées de lave et de fragments rocheux, reste très instable et fragile**. En cas de déstabilisation brutale, des explosions d'intensité variable pourraient survenir.

### Observations instrumentales

Lors de l'arrêt de l'éruption entre le 25 (16h30 locale) et le 28 mars (15h heure locale), **la sismicité sommitale est restée faible mais une sismicité profonde a été enregistrée**. Cette sismicité était localisée à l'ouest du cratère Bory entre 6 et 7km sous le niveau de la mer (Figure 3). Cette sismicité profonde témoigne en général d'une remontée de magma vers le réservoir superficiel localisé aux alentours de 1,5-2 km de profondeur sous le sommet.

En parallèle, **une légère inflation de l'édifice est enregistrée** sur les 3 derniers jours (Figure 4), témoignant de la remise en pression du réservoir de magma superficiel.

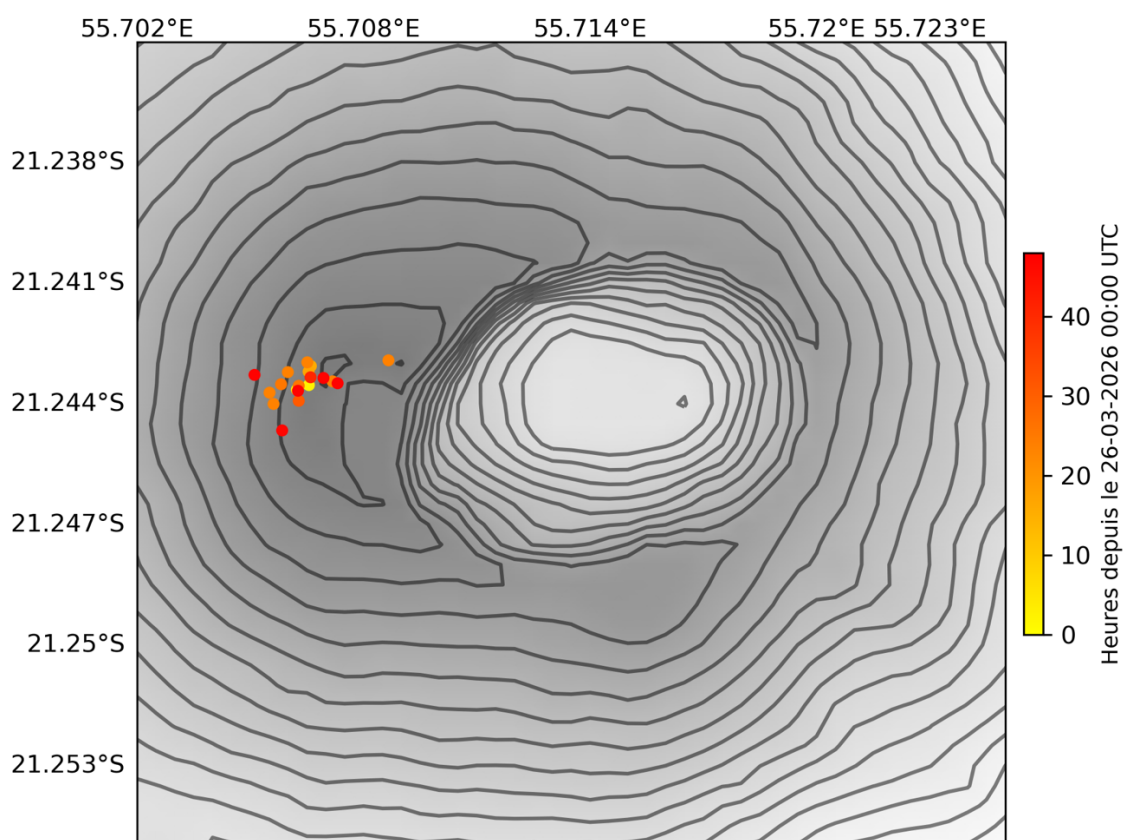


Figure 3 : Sismicité enregistrée sous le Piton de la Fournaise entre le 26 et le 27 mars (la couleur est fonction du temps depuis le 26 mars). Carte de localisation (épicentres) des séismes détectés et relocalisés par l'OVPF-IPGP (©OVPF-IPGP).

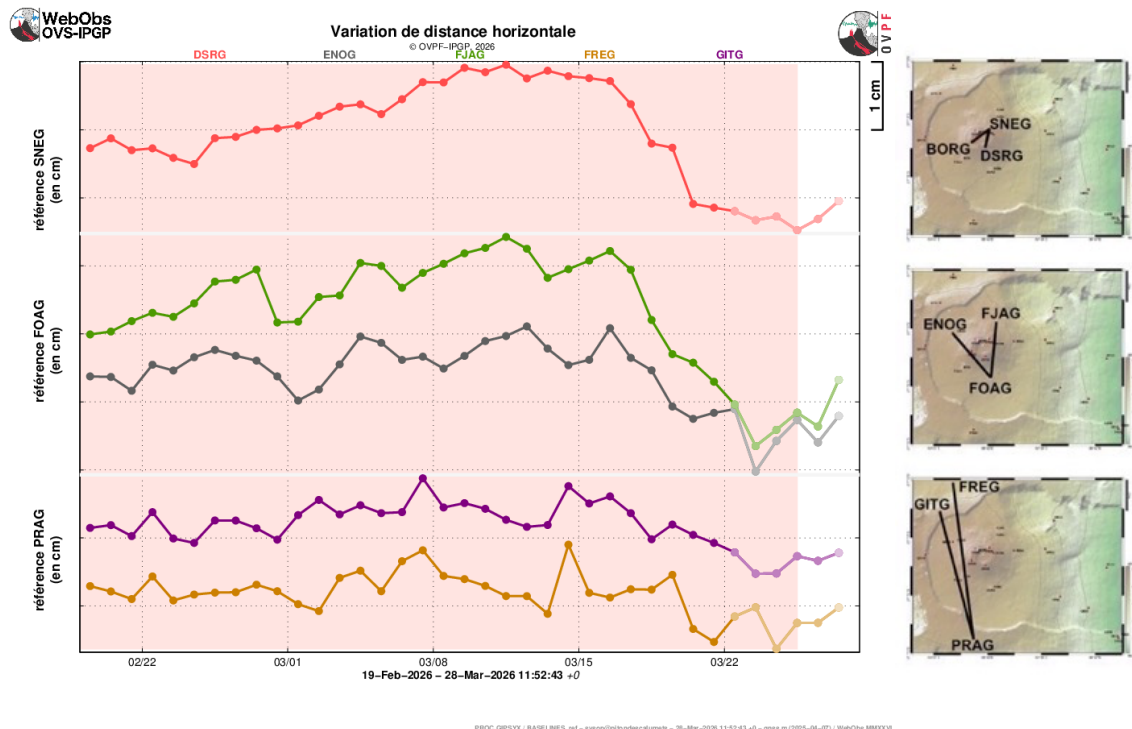


Figure 4 : Illustration de la déformation entre le 19 février et le 28 mars inclus. Sont ici représentées les variations de distance horizontale entre couples de récepteurs GNSS traversant l'édifice du Piton de la Fournaise, au sommet (référence SNEG ; en haut), à la base du cône terminal (référence FOAG ; au milieu) et en champ lointain (référence PRAG ; en bas). La localisation des stations GNSS est indiquée à droite. Une augmentation est synonyme d'élongation et donc de gonflement du volcan ; inversement une diminution indique une contraction et donc un dégonflement du volcan (©WebObs/OVPF-IPGP).

L'intensité du trémor éruptif (indicateur du flux de lave et de gaz) a augmenté progressivement lors de la fin de journée hier avant de stabiliser puis de ré-augmenter légèrement en ce début de journée (Figures 5 et 6).

Les débits en surface, estimés à partir des données satellites, via la plateforme HOTVOLC (OPGC – Université Clermont Auvergne), ont indiqué depuis la reprise d'activité, des valeurs inférieures à 4 m<sup>3</sup>/s. A noter qu'en fonction de la couverture nuageuse, ces estimations peuvent varier fortement et devenir nulles en cas de couverture nuageuse totale. L'activité actuelle en tunnel de lave a également tendance à minimiser les valeurs de débits observées par méthode satellite.

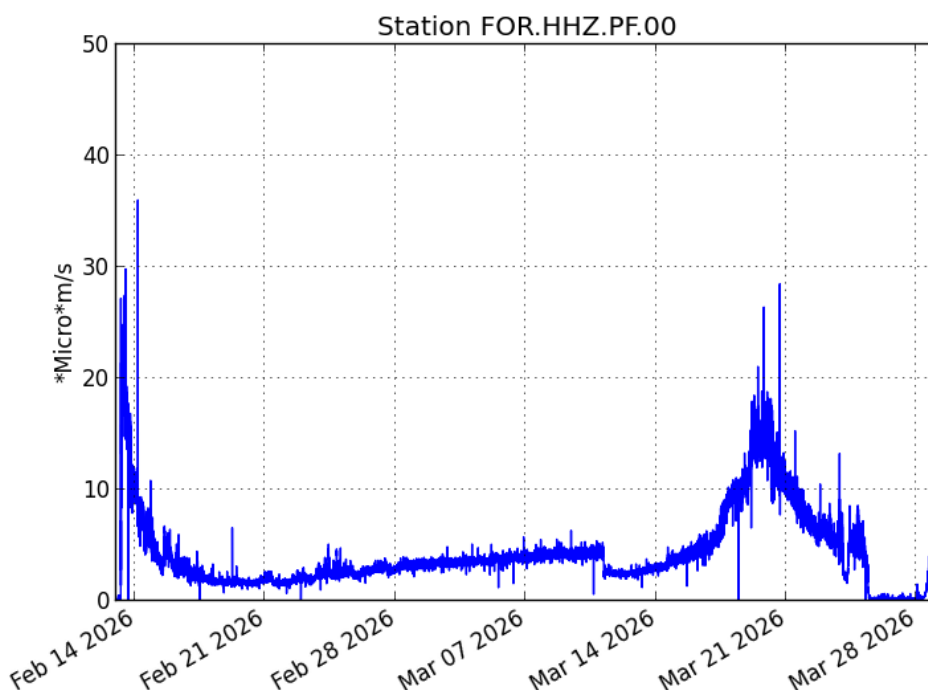


Figure 5 : Évolution de l'amplitude du trémor (indicateur de l'émission de lave et de gaz en surface) entre le 13 février et le 29 mars 2026 sur la station sismologique FOR située à proximité du site éruptif (©WebObs/OVPF-IPGP).

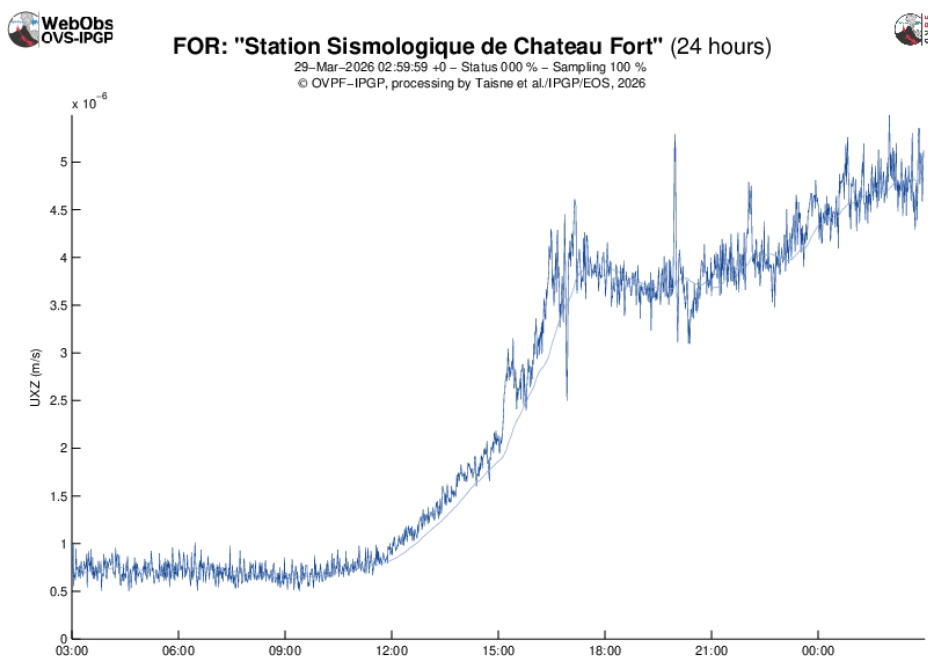


Figure 6 : Évolution de l'amplitude du trémor (indicateur de l'émission de lave et de gaz en surface) sur les dernières 24h sur la station sismologique FOR située à proximité du site éruptif (©WebObs/OVPF-IPGP).



## Bilan

### Observations sur les différents sites

- Site éruptif : dégazage et faibles projections de lave.
- Coulées dans les Grandes Pentas : seul le bras sud est de nouveau réalimenté.
- Plateforme : avec la reprise de l'activité et la réalimentation des tunnels de lave, une réalimentation de la plateforme est possible, ainsi qu'une intensification du panache de gaz au point d'entrée à l'océan.

### Observations instrumentales

- Sismicité profonde entre le 25 et le 28 mars
- Inflation de l'édifice
- Trémor en hausse

Niveau d'Alerte 2.2

La direction de l'OVPF-IPGP

## Informations

**Merci aux organismes, collectivités et associations d'afficher publiquement ce bulletin pour une diffusion la plus large possible.**

Retrouvez l'ensemble des informations relatives à l'activité du Piton de la Fournaise sur les différents médias de l'OVPF-IPGP :

- le site internet : [ipgp.fr/fr/ovpf/actualites-ovpf](http://ipgp.fr/fr/ovpf/actualites-ovpf)
- le compte bluesky : [@ovpf.bsky.social](https://bsky.app/profile/ovpf.social)
- le compte Facebook : [facebook.com/ObsVolcanoPitonFournaise](https://facebook.com/ObsVolcanoPitonFournaise)

**Les informations de ce document ne peuvent être utilisées sans y faire explicitement référence.**